



Uvéite syphilitique: étude rétrospective tricentrique de 67 patients

F Hoogewoud, L Frumholtz, P Loubet, C Charlier,
P Blanche, O Launay, O Lortholary, N Dupin,
A Brézin, M Groh

Introduction et Méthodes

- **Introduction**

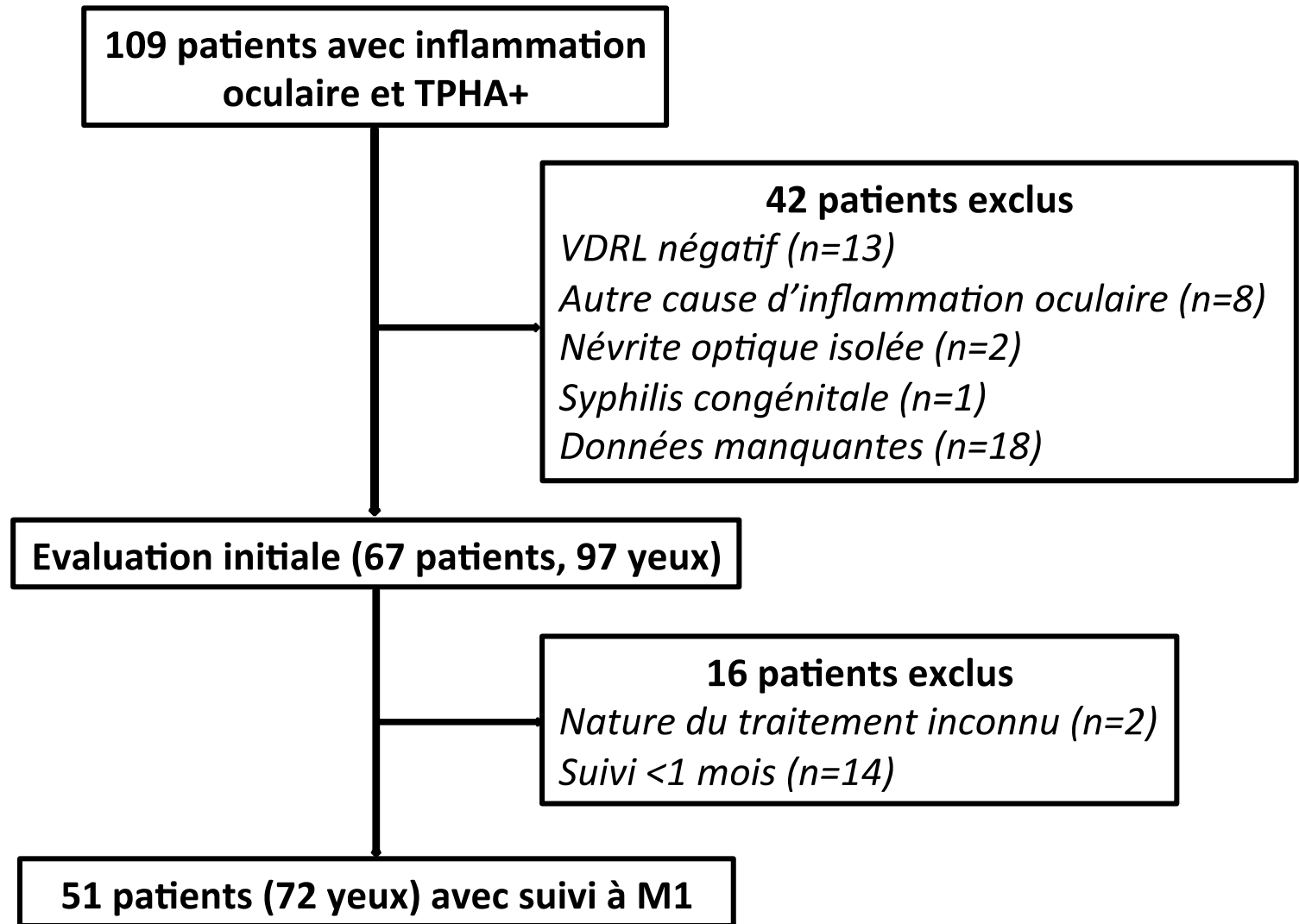
- Syphilis et uvéite syphilitique: incidences en augmentation^{1,2}
- Présentation polymorphe, avec différences selon le statut VIH³
- Traitement de référence: pénicilline G IV ⁴

- **Méthodes**

- Étude rétrospective (2003-2016) tricentrique (Cochin, Necker, CHNO XV-XX)
- Critères d'inclusion: uvéite et TPHA + et VDRL+
- Facteurs associés à la guérison à M1 (uni/multivariée)

1. Patton, *MMWR*, 2014
2. Tuddenham, *Sex Transm Inf*, 2016
3. Aramatunge, *Clin Exp Ophthalmol*, 2010
4. CDC STD Treatment Guidelines, *MMWR*, 2010

Diagramme de flux



Caractéristiques ophtalmologiques initiales

Caractéristiques	Groupe A (n=43)	Groupe B (n=21)	Groupe C (n=8)	Total (n=72)	p-value
Acuité visuelle, n (%)					0.01
<2/10	17 (40)	1 (5)	1 (13)	19 (26)	
2/10-5/10	11 (26)	8 (38)	5 (63)	24 (34)	
>5/10	15 (35)	12 (57)	2 (25)	29 (40)	
PIO médiane, mmHg (IIQ)	13 [11-15]	12.5 [10.5-14.5]	11 [10-17.5]	12 [11-14]	0.77
Localisation anatomique de l'inflammation, n (%)					0.008
Uvéo-papillite	12 (28)	2 (10)	3 (38)	17 (24)	-
Uvéite antérieure	4 (9)	5 (24)	0	9 (13)	-
Uvéite intermédiaire	0	2 (10)	0	2 (3)	-
Uvéite postérieure	13 (30)	1 (5)	0	14 (19)	-
Panuvéite	14 (33)	11 (52)	5 (63)	30 (42)	-
Sclérite	0	0	0	0	-
Classification physiopathologique, n (%)					0.06
Uvéo-papillite	12 (28)	2 (10)	3 (38)	17 (24)	
Atteinte du pôle postérieur	27 (63)	12 (57)	5 (63)	44 (61)	
Atteinte de la Zone 1	15/27 (56)	5/12 (42)	1/5 (20)	21/44 (48)	0.37
Absence d'atteinte du pôle postérieur	4 (9)	7 (33)	0	11 (15)	
Corticoïdes locaux, n (%)	20 (47)	12 (57)	4 (50)	36 (50)	0.79
Collyres	17 (40)	14 (67)	3 (38)	34 (47)	0.11
Latéro-bulbaire de dexaméthasone	5 (12)	1 (5)	1 (13)	7 (10)	0.61
Sous-ténonienne de triamcinolone	0	0	0	0	-
Corticoïdes systémiques, n (%)	13 (32)	1 (5)	1 (13)	15 (21)	0.03

Evolution ophtalmologique

Caractéristiques	Groupe A (n=43)	Groupe B (n=21)	Groupe C (n=8)	Total (n=72)	p-value
Réévaluation précoce, n	37	19	6	62	-
Délai médian jusqu'à réévaluation, jours (IIQ)	7 [4-9]	5 [3-7]	6 [5-7]	6 [4-8]	0.12
Pire, n (%)	6 (16)	1 (5)	0		0.28
Stable, n (%)	9 (24)	3 (16)	2 (33)		-
Amélioration, n (%)	21 (57)	11 (58)	4 (67)		-
Guérison, n (%)	1 (3)	4 (21)	0		-
Réévaluation à M1					
Délai médian jusqu'à réévaluation, jours (IIQ)	29 [19-37]	27 [21-40]	19 [19-44]	29 [19-38]	0.94
Guérison, n (%)	21 (49)	18 (86)	4 (50)	43 (60)	0.01
Pas d'atteinte du pôle postérieur	1 (25)	7 (100)	-	8 (72)	0.02
Atteinte du pôle postérieur	13 (48)	10 (83)	4 (80)	27 (61)	0.08
Uvéo-papillite	7 (58)	1 (50)	0	8 (47)	0.27
Réévaluation à M3, n	23	16	5	44	-
Délai médian jusqu'à réévaluation, jours (IIQ)	90 [72-105]	83 [78-92]	97 [91-97]	89 [81-102]	0.11
Guérison (chez les non guéris à M1), n (%)	12/15 (80)	2/3 (66)	3/3 (100)	17/21 (81)	1.0
Guérison cumulée à M3	30/36 (92)	20/21 (95)	7/7 (100)	60/64 (94)	1.0
Acuité Visuelle, n (%)					0.56
<2/10	2 (9)	0	0	2 (5)	
2/10-5/10	4 (17)	1 (6)	0	5 (11)	
>5/10	17 (74)	15 (94)	5 (100)	37 (84)	
Médiane d'amélioration (Logmar)	-0.3 [-0.6 ; 0]	-0.1 [-0.5;-0.05]	-0.3 [-0.7 ; 0]	-0.3 [-0.56 ; -0.02]	0.69

Facteurs associés à la guérison à M1:

- univariée: AV initiale $\geq 2/10$, Groupes B/C, évolution précoce favorable
- multivariée : **Evolution précoce favorable (p=0,001; RR 3.4 [2.3-4.0])**

Diapositives supplémentaires

- **Caractéristiques cliniques initiales en fonction des groupes de TTT**
- **Caractéristiques initiales en fonction du statut VIH**
 - Cliniques
 - Ophthalmologiques
- **Groupes de traitement**
- **Facteurs associés à la guérison à M1**

Caractéristiques cliniques initiales

Caractéristiques	Groupe A (n=29)	Groupe B (n=14)	Groupe C (n=7)	Total (n=50)	p-value
Service					0.001
Maladies Infectieuses	15 (52)	0	0	15 (30)	
Médecine Interne	11 (38)	14 (100)	7 (100)	32 (64)	
Dermatologie	3 (10)	0	0	3 (6)	
Age médian, année (IIQ)	50 (40-57)	50 (43-55)	47 (38-58)	49.5 (40-56)	0.91
Homme, n (%)	27 (93)	11 (79)	7 (100)	45 (90)	0.32
Séropositivité VIH	11 (38)	9 (64)	4 (57)	24 (48)	0.27
CD4 médians, cellules/mm³ *	312 (150-617)	296 (187-361)	382 (140-640)	304 (169-566)	0.90
Antécédent de syphilis, n (%)	0	3 (21)	0	3 (6)	0.04
Autre IST	2/28 (7)	4/14 (29)	1/6 (17)	7/48 (15)	
Symptômes cutanés, n (%)	17 (58)	7 (63)	4 (67)	28 (61)	1.0
Chancre préalable	10/29 (34)	6/11 (55)	3/6 (50)	19/46 (41)	0.47
Roséole	12/29 (41)	5/11 (45)	3/6 (50)	20/46 (43)	1.0
Syphilides	15/29 (52)	7/11 (63)	1/7 (14)	23/47 (49)	0.13
Délai moyen entre symptômes cutanés et visuels, mois (ET)	1.7 (2.0)	3.5 (4.1)	0	2.2 (2.8)	0.64
Atteinte bilatérale, n (%)	14 (48)	7 (50)	1 (14)	22 (44)	0.28
VDRL médian, (IIQ)	32 (16-64)	128 (64-256)	96 (32-256)	64 (32-128)	0.03
Ponction lombaire réalisée, n (%)	27 (93)	12 (86)	3 (43)	42 (84)	0.01
Ponction lombaire anormale, n (%)	22 (81)	9 (75)	2 (67)	33 (79)	0.80
Pleïocytose (>10/mm ³)	15 (56)	5 (42)	2 (67)	22 (52)	0.61
Hyperprotéinorrhachie (>0.4 g/L)	19 (70)	8 (67)	1 (33)	28 (67)	0.51
Documentation microbiologique	16 (59)	4 (33)	2 (67)	22 (55)	0.21

* Parmi patients séropositifs pour VIH (n=24)

Caractéristiques cliniques en fonction du statut VIH

Caractéristiques	VIH- (n=36)	VIH+ (n=31)	Total (n=67)	p-value
Age médian, année (IIQ)	52.5 [45-58]	44 [36-53]	48.5 [40-56]	0.01
Sexe, n (%)				0.36
Homme	32 (89)	30 (97)	62 (93)	-
Femme	4 (11)	1 (3)	5 (7)	-
HSH, n(%)	15 (58)	20 (87)	35 (71)	0.03
Antécédent de syphilis, n (%)	4 (11)	2 (7)	6 (9)	0.68
Symptômes cutanés, n (%)	18 (55)	16 (59)	34 (57)	0.80
Roséole	13 (39)	11 (41)	24 (40)	1.0
Syphilides	15 (46)	14 (50)	29 (48)	0.80
Délai moyen entre symptômes cutanés et visuels, mois (ET)	0.5 [0-2]	2 [0.5-7]	1.5 [0-3]	0.05
Durée médiane entre le début des symptômes visuels et la première consultation, jours, (IIQ)	15 [5-31]	7.5 [3-37]	13.5 [4-32]	0.51
CD4 médians, cellules/mm ³ (IIQ)	ND	313 [150-617]	-	NA
Autre IST	1 (3)	7 (24)	8 (13)	0.02
Atteinte oculaire bilatérale, n (%)	13 (38)	15 (48)	28 (43)	0.46
VDRL médian, (IIQ)	32 [16-64]	128 [64-256]	64 [16-128]	0.001
Ponction lombaire réalisée, n (%)	26 (72)	26 (87)	52 (79)	0.23
Ponction lombaire anormale, n (%)	20 (77)	21 (84)	41 (80)	0.73
Pleïocytose (>10/mm ³)	12 (46)	15 (58)	27 (52)	0.58
Hyperprotéinorrhachie (>0.4 g/L)	18 (69)	18 (69)	36 (69)	1.0
Documentation microbiologique *	13 (50)	16 (67)	29 (58)	0.27

*PCR ou VRDL ou FTA positif(ve) dans le LCR

Caractéristiques ophtalmologiques en fonction du statut VIH

Caractéristiques	VIH- (n=50)	VIH+ (n=46)	Total (n=96)	p-value
Acuité visuelle, n (%)				0.41
<2/10	10 (20)	15 (33)	25 (26)	
2/10-5/10	18 (36)	14 (30)	32 (33)	
>5/10	22 (44)	17 (37)	39 (41)	
PIO médiane, mmHg (IIQ)	13 [12-15]	12 [10-14]	13 [11-14]	0.510 (20)
Localisation anatomique de l'inflammation, n (%)				
Uvéo-papillite	10 (20)	10 (22)	20 (21)	1.0
Uvéite antérieure	4 (8)	8 (17)	12 (13)	0.22
Uvéite intermédiaire	4 (8)	0	4 (4)	0.12
Uvéite postérieure	17 (34)	2 (4)	19 (20)	<10⁻³
Panuvéite	13 (26)	26 (57)	39 (57)	0.003
Sclérite	0	0	0	-
Atteinte de la Zone 1	21/27 (78)	9/24 (38)	30 (59)	0.005
Inflammation antérieure, n (%)				
Tyndall >0.5	16 (32)	33 (72)	49 (51)	<10⁻³
Hypopion	1 (2)	3 (7)	4 (4)	0.35
Flare médian (IIQ)	11 [8-33]	48 [18-88]	33 [11-65]	0.009
Hyalite >0.5, n (%)	19 (38)	29 (63)	48 (50)	0.02
Complications oculaires, n (%)				
Hypertonie oculaire	1 (2)	0	1 (1)	1.0
Synéchies postérieures	4 (8)	14 (30)	18 (19)	0.008
Décollement séreux rétinien	2 (4)	2 (4)	4 (4)	1.0
Œdème maculaire cystoïde	0	3 (7)	3 (4)	0.11
Glaucome	0	0	0	-
Vascularite (fond d'oeil)	7 (14)	7 (15)	14 (15)	1.0

Groupes de traitement

Groupe de traitement	N (%)	Sous-groupes	N (%)	TTT moyen par péni G, jours (ET)	TTT moyen par C3G, jours (ET)
A	29 (57%)	2 semaines de pénicilline G	17 (33%)		
		3 semaines de pénicilline G	8 (15%)		
		2 semaines de pénicilline G + tétracycline 15 jours + benzathylpénicilline *1	1 (2%)		
		2 semaines de pénicilline G + 1 semaine de C3G	1 (2%)		
		2 semaines de pénicilline G + benzathylpénicilline *2	1 (2%)		
		2 semaines de C3G puis 2 semaines de pénicilline G	1 (2%)		
B	14 (27%)	pénicilline G puis C3G SC/IM	12(24%)	7 (1.7)	11 (5.7)
		1 semaine de pénicilline G puis benzathylpénicilline *2	1 (2%)	8	
		1 semaine de pénicilline G puis benzathylpénicilline *3	1 (2%)	7	
C	7 (14%)	benzathylpénicilline *3	3 (6%)		
		3 semaines de C3G	1 (2%)		
		2 semaines de C3G	2 (4%)		
		3 semaines de C3G	1 (2%)		
D	1 (2%)	2 semaines de tétracycline	1 (2%)		

Facteurs associés à la guérison à M1

Caractéristiques	Guérison à M1	OR brut IC95%	p-value	ORa* 95%CI	RR corrigé**	p-value
Total	43/72 (60)					
Statut sérologique pour VIH			0.81			
Séronégatif	21 (58)	1				
Séropositif	22 (61)	1.1 [0.4-2.9]				
Ponction lombaire anormale			0.27			
Non	16 (73)	1				
Oui	24 (59)	0.5 [0.2-1.6]				
Délai entre début des symptômes oculaires et le début de prise en charge (jours)						
≤21	23 (70)	1	0.12			
>21	20 (51)	0.5 [0.2-1.2]				
Acuité Visuelle initiale			0.05			0.09
<2/10	11 (44)	1		1	1	
≥2/10	32 (68)	2.7 [1.0-7.3]		3.5 [0.8-14.3]	1.6 [0.4-2.1]	
Localisation anatomique de l'inflammation oculaire						
Pas d'atteinte du pôle postérieur	8 (73)	1	-			
Uvéo-papillite	8 (47)	0.3 [0.1-1.7]	0.19			
Atteinte du pôle postérieur	27 (61)	0.6 [0.1-2.6]	0.47			
Groupe de traitement			0.03			0.14
1	21 (49)	1		1	1	
2&3	22 (76)	3.3 [1.2-9.3]		2.9 [0.7-12.5]	1.5 [0.8-1.9]	
Corticostéroïdes systémiques	7 (47)	0.5 [0.2-1.7]	0.30			
Réévaluation			0.001			0.001
Pire ou Stable	5 (24)	1		1	1	
Amélioration ou Guérison	34 (83)	15.5 [4.3- 56.7]		16.2 [3.9-68.0]	3.4 [2.3-4.0]	11